

Y₂O₃가 첨가된 Al₂O₃-TiC 복합 소결체의 치밀화와 기계적 성질

최종선 · 박상엽 · 김특종* · 강석중

한국과학기술원 재료공학과

*대한중석광업(주)

(1989년 5월 2일 접수)

Sintering and Mechanical Properties of Y₂O₃ Added Al₂O₃-TiC Composite

Jong-Sun Choi, Sang-Yeup Pak, Deug-Joong Kim* and Suk-Joong L.Kang

Dept. of Materials Science and Engineering, KAIST

*Korea Tungsten Mining Co.

(Received May 2, 1989)

요약

Al₂O₃-TiC 복합 소결체에서 TiC의 역할과 Y₂O₃ 첨가가 치밀화 및 기계적 성질에 미치는 영향에 대하여 연구하였다. TiC 양을 10, 20, 30 wt.%로 유지하면서 Y₂O₃를 0~2 wt.%까지 첨가하였다. Y₂O₃를 0.5 wt.% 첨가하여 모든 시편에서 95% 이상의 상대밀도를 얻을 수 있었으나 그 이상의 첨가는 치밀화에 별 영향이 없었다. Y₂O₃를 첨가함에 따라 Al₂O₃ 입자성장이 촉진되었으며 이 경향은 TiC 양이 증가함에 따라 감소되었다. 이것은 TiC에 의한 입자성장 억제효과 때문이다. Y₂O₃가 첨가된 시편에서 소결밀도의 증가에 따라 경도가 크게 증가하였으며 TiC 양의 증가에 따라 파괴인성 값이 증가하였다. Y₂O₃를 0.5 wt.% 첨가하여 상압 소결하여 고립기공이 형성되게 한 후 HIP을 하여 완전 치밀화 되고 기계적 성질이 우수한 소결체를 얻을 수 있었다. 특히 Al₂O₃-30 TiC 시편의 경우 HIP에 의하여 50% 이상 파괴 인성 값이 증가하였으며 이것은 Sinter/HIP 공정으로 완전 치밀화 되고 기계적 성질이 우수한 Al₂O₃-TiC 소결체의 제조가 가능함을 보여주는 결과이다.

ABSTRACT

The role of TiC and the effect of Y₂O₃ addition on the densification, microstructure and mechanical properties of Al₂O₃-TiC composite have been studied. The amount of Y₂O₃ has been varied from 0 to 2 wt.% while keeping the TiC content at 10, 20 or 30 wt.%. The powder compacts have been sintered at 1,750°C for various times in 1 atm Ar atmosphere and hot isostatically pressed (HIPed) at 1,600°C for 0.5 h under 1,500 atm Ar. Considerable increase in sintered density (over 95%) has been achieved by adding 0.5 wt.% Y₂O₃ in specimens containing high TiC volume. More addition of Y₂O₃ does not affect the densification. With increasing the sintering time from 0.5 to 4 h, slight increase in density results. The growth of Al₂O₃ grain has been enhanced by Y₂O₃ addition; this tendency is reduced with increasing TiC content because of grain boundary dragging effect of TiC particles. The hardness of specimens increases considerably by an addition of 0.5 wt.%

Y₂O₃ owing to the density increase. Further addition of Y₂O₃ has no effect on hardness. Fracture toughness augments with TiC content by crack deflection around the particles. By adding 0.5 wt.% Y₂O₃, all the specimens can be densified to isolated pore stage and thus can be HIPed to full densification and better mechanical property. In particular, the fracture toughness of Al₂O₃-30 TiC specimen increases about 50% by HIPing. Fully dense Al₂O₃-30 TiC with good mechanical properties can be prepared by normal Sintering/HIPing process.

1. 서 론

Al₂O₃-TiC 복합체는 Al₂O₃ 기지에 미세한 TiC 입자를 고르게 분산시켜 Al₂O₃의 인성을 향상시킬 수 있는 재료로서 많은 연구가 진행되어 왔다^[1-3]. 그러나 일반적인 상압 소결 방법으로는 치밀한 소결체를 얻을 수 없어서 주로 고온 가압 소결(hot pressing)에 의하여 만들어지고 있다^[4]. 고온 가압 소결로 소결체를 제조할 경우 복잡한 형상의 소결체의 제조와 양산이 어렵기 때문에 최근에는 몇몇 연구가들^[1,2]에 의하여 상압소결이 시도되었다. 상압 소결시 소결 측진제로서 여러가지 산화물과 탄화물 등이 제안 되었으나 소결 거동이나 소결체의 특성에 관한 자세한 결과는 거의 알려져 있지 않다. 한편 Lee 와 Borom^[5]은 급속소결(rapid rate sintering) 방법으로 1,900°C 이상의 고온에서 단시간 소결하여 치밀한 소결체를 얻을 수 있다고 하였다. 상압 소결에 의하여 소결체가 이론밀도의 약 94% 이상의 밀도를 갖게 되면 그 이상의 치밀화를 위한 2차 가공으로서 최근 여러 요업체의 제조에 응용되는 encapsulation 이 필요없는 HIP 공정을 응용할 수 있으므로 보다 경제적으로 완전 치밀화된 소결체를 제조 할 수 있다.

본 연구에서는 Al₂O₃-TiC 소결에서 TiC 양과 Y₂O₃ 양에 따른 소결 미세조직과 기계적 성질에 관하여 연구하였다. Al₂O₃-TiC의 상압 소결 후 2차 가공으로 고온 등압 소결하여 치밀하고 기계적 성질이 우수한 소결체를 제조하고자 하였다.

2. 실험방법

본 연구에서는 일반적인 요업체의 소결 방법으로 시편을 제조하였다. 실험에서 사용한 분말은 Al₂O₃, TiC 그리고 Y₂O₃이다. Al₂O₃ 분말은 Sumitomo 사의 것으로 순도는 99.99%이며 평균 입자 크기는 0.3 μm이다. TiC 분말은 Herman C. Stark 사의 것으로 TiC 분말만을 48

시간 ball milling 후 측정한 결과 평균 입자 크기는 0.6 μm었다. Y₂O₃는 Shinetsu Chemical 의 99.99% 순도의 분말을 사용하였다.

Al₂O₃-TiC 계는 조성 선택에 따라 강도 및 소결성이 크게 달라진다. Al₂O₃에 TiC를 각각 10, 20, 30%의 중량비로 첨가하여 각각의 batch를 만들었고 소결 첨가제에 따른 소결도의 변화를 관찰하기 위하여 Y₂O₃를 0.5, 1, 1.5, 2 wt%로 변화시켜 첨가하였다. 각 분말을 조성에 맞추어 칭량 한 후 alumina jar에 넣고 alumina ball을 이용하여 48 시간 milling 하였다. 건조 후 얻어진 응집 입자를 마노 사발에서 분쇄한 후 45 mesh 체를 통과한 분말을 금속 die에서 형체만 유지할 수 있을 정도의 작은 압력으로 성형하였다. 이렇게 성형된 성형체의 밀도를 높이기 위하여 고무 용기에 성형체를 넣고 약 120 MPa의 압력으로 CIP(Cold Isostatic Pressing) 하였다. 소결은 Astro 사의 흑연 저항로에서 행하였다. 먼저 전공펌프로 로내의 압력이 0.2 torr가 되도록 공기를 뺀 다음 Ar 가스를 흘리면서 가열하였다. 1,300°C 까지는 30 K/min의 속도로 가열하다가 그 이후에는 50 K/min의 속도로 승온한 후 1,750°C에서 시간을 변화시켜 등온 소결하였다. HIP 공정은 Ar 가스를 이용하여 1,500 기압, 1,600°C에서 0.5 시간 행하였다. 소결체의 밀도는 ASTM-C 20의 방법으로 측정하였으며 상대밀도는 각 분말의 혼합률에 따라 계산하였다. 시편의 기계적 성질로서 파괴인성 값과 경도 값을 측정하였는데 최종 표면 연마된 시편을 Vickers 경도 측정기에서 측정하였다. 시편 한 개당 7 차례의 시험을 한 후 그 평균과 표준편차를 결과로서 제시하였다.

3. 결과 및 고찰

Fig. 1은 Al₂O₃-TiC 조성의 원료분말에 Y₂O₃를 각각 0.5, 1, 1.5, 2 wt% 첨가한 후 1,750°C에서 1시간 소결하였을 때 얻어진 밀도 값을 나타내고 있다. Y₂O₃를 첨가함으로써 소결 밀도를 증가시킬 수 있고 TiC의 양이 많

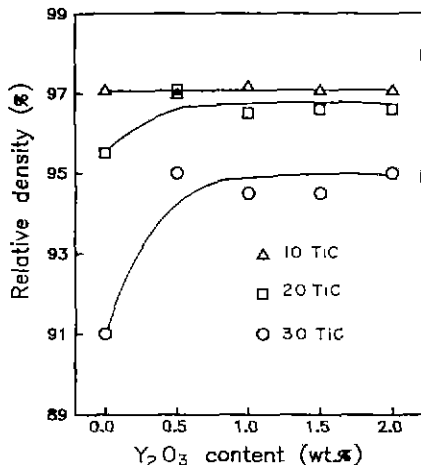


Fig. 1. Effect of Y_2O_3 addition and TiC content on the sintered density of Al_2O_3 -TiC specimens sintered at 1,750°C for 1 h.

아 질수록 Y_2O_3 의 첨가 효과가 크게 나타남을 알 수 있다. 즉 Al_2O_3 -10 TiC의 조성에 Y_2O_3 를 첨가한 것은 밀도 변화가 거의 없지만 Al_2O_3 -30 TiC의 조성에 0.5 wt% Y_2O_3 를 첨가함으로서 상대 밀도가 91%에서 95%로 크게 증가한다. 그러나 0.5 wt% 이상 첨가하였을 때는 밀도 변화가 거의 없다. 이 결과는 순수한 Al_2O_3 에 Y_2O_3 를 첨가하면서 1,750°C에서 소결하였을 때 10 mol%의 Y_2O_3 가 첨가 될 때까지 밀도 값이 계속 증가하였다는 Hubner 와

Hausner⁵⁾의 결과와 다른 것이다. 이는 순수 Al_2O_3 소결에서와는 달리 Al_2O_3 -TiC에서는 초기의 치밀화에 Y_2O_3 가 효과적이지만 어느 이상 치밀화 되었을 때에는 TiC의 소결 억제효과가 지배적으로 됨을 의미하는 것이다.

Fig. 2, 3, 4는 각각 1,750°C에서 소결된 Al_2O_3 -10 TiC, Al_2O_3 -20 TiC, Al_2O_3 -30 TiC 시편의 소결 시간과 Y_2O_3 양에 따른 상대밀도 변화를 보여준다. TiC 양이 많을수록 치밀화가 느리게 일어나며 Y_2O_3 첨가량이 증가할수록 치

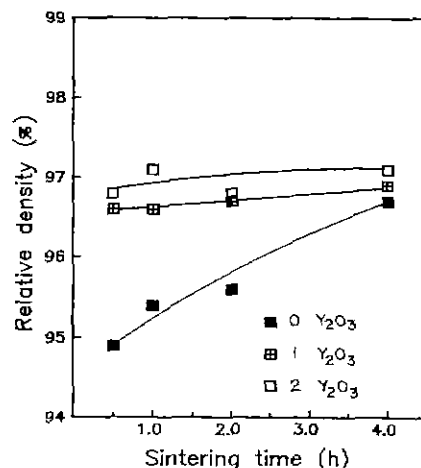


Fig. 3. Variation of sintered density with sintering time of Al_2O_3 -20 TiC-x Y_2O_3 specimens sintered at 1,750°C.

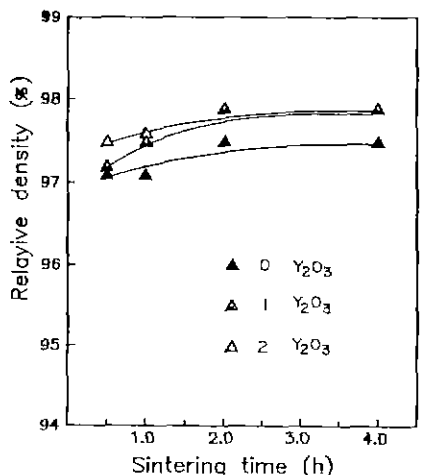


Fig. 2. Variation of sintered density with sintering time of Al_2O_3 -10 TiC-x Y_2O_3 specimens sintered at 1,750°C.

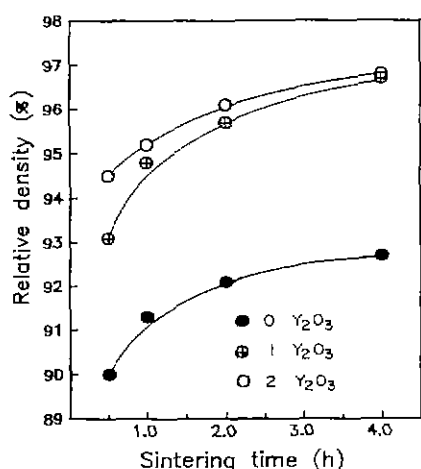


Fig. 4. Variation of sintered density with sintering time of Al_2O_3 -30 TiC-x Y_2O_3 specimens sintered at 1,750°C.

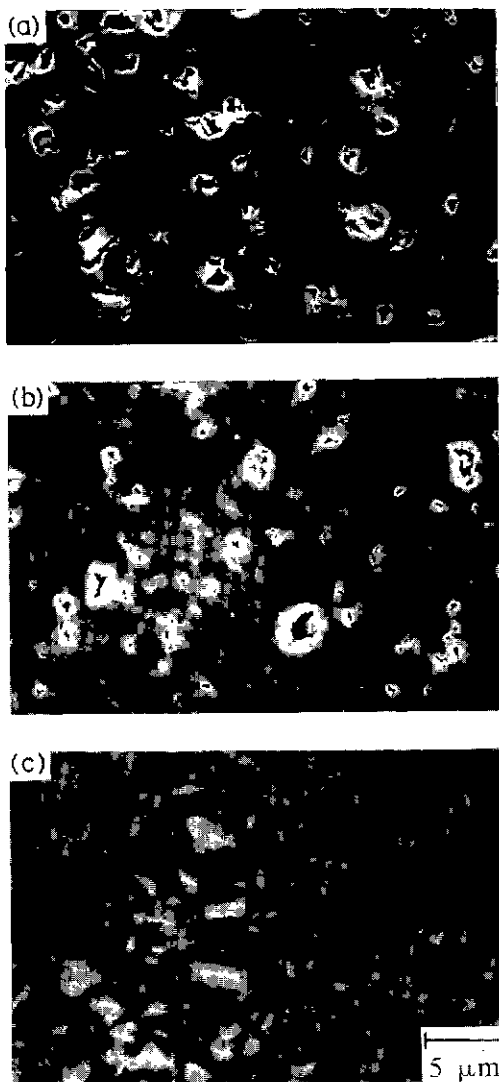


Fig. 5. Microstructures of (a) Al_2O_3 -30 TiC and (b) Al_2O_3 -30 TiC-0.5 Y_2O_3 specimens sintered at 1,750°C for 1 h, and (c) the specimen (b) HIPed at 1,600°C for 0.5 h under 1,500 atm.

밀화가 빠르다. 통상 많이 사용되는 조성인 Al_2O_3 -30 TiC의 경우에도 소결시간이 길어지면 상대밀도가 크게 증가될 수 있음을 알 수 있다.

Fig. 5는 1,750°C에서 1시간 소결된 Al_2O_3 -30 TiC 시편과 Y_2O_3 를 0.5 wt.% 첨가하여 소결한 후 HIP 했을 때의 연마면을 주사 전자 현미경으로 관찰한 조직 사진이다. 회색 부분이 TiC 입자들이며, 비교적 검은 부분이 Al_2O_3 기지상이고 기지내에 균일하게 분포된 검은 부분들은 기

공으로서 HIP에 의하여 완전 치밀화된 시편을 얻을 수 있음을 알 수 있다. 이를 조직사진에서 보면 TiC 입자들의 크기는 일정하지 않고 그 모양도 불규칙하나 Al_2O_3 기지에 비교적 균일하게 분포되어 있다. 또한 소결체 내의 기공들은 대부분 TiC 입자와 맞닿아 있다. 이것은 Pasco⁶⁾나 Lee와 Borom³⁾이 제안한 것처럼 TiC나 유리 카본이 Al_2O_3 와 반응하여 Al_2O 와 CO 가스를 생성하기 때문인 것으로 생각된다.

TiC 양과 Y_2O_3 첨가에 따른 Al_2O_3 입자 크기의 변화는 시편 준비가 용이하지 않아 정확하게 측정 할 수는 없지만 TiC 양이 증가하고 Y_2O_3 양이 감소할수록 Al_2O_3 의 입자 크기가 작았다. Al_2O_3 -10 TiC 시편을 1,750°C에서 1시간 소결했을 때 Al_2O_3 의 평균 입자 크기는 약 2.7 μm 이었으며, Y_2O_3 가 2 wt % 첨가된 경우 소결 밀도의 변화없이 약 3.9 μm 로 크게 증가하였다. 반면 Al_2O_3 -30 TiC 시편에서는 Al_2O_3 -10 TiC 시편에서보다 Al_2O_3 입자의 크기가 작았으며 Y_2O_3 첨가에 따라 별 변화가 없었다. 따라서 Y_2O_3 는 Al_2O_3 의 치밀화뿐 아니라 입자성장도 측진한다는 것을 알 수 있다. 반면 TiC가 Al_2O_3 의 입자성장을 억제하는 것은 2상 조직에서 제 2상이 기지상의 입자 이동을 억제하는 Zener 효과⁷⁾ 때문인 것으로 판단된다. 즉 TiC가 증가할수록 TiC에 의한 입자성장 억제효과가 커서 한계 입자크기(limiting grain size)가 작아지기 때문이다.

Fig. 6은 TiC와 Y_2O_3 양의 단화에 따른 소결 시편의 경

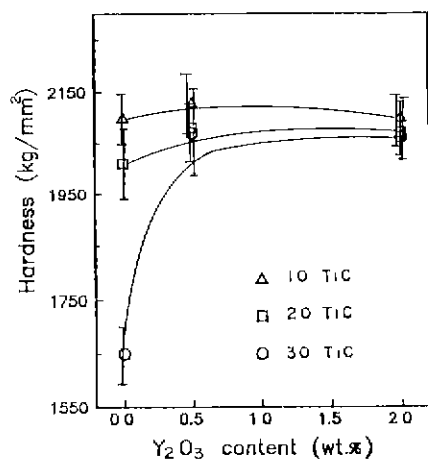


Fig. 6. Variation of sintered microhardness with Y_2O_3 content of the specimens sintered at 1,750°C for 1 h.

도 변화를 나타낸다. 일반적으로 경도는 밀도가 높을수록, 입자 크기가 작을수록 크다고 알려져 있다⁹⁾. Y_2O_3 를 첨가하지 않은 시편에서 TiC 양이 증가 할수록 경도값은 감소하고 있다. 이것은 TiC 양이 증가함에 따라 소결성이 감소하여 밀도가 감소하기 때문이며 Y_2O_3 를 첨가하였을 때 경도 값이 크게 증가하는 것은 Y_2O_3 가 소결을 촉진시켜 상대 밀도 값이 증가하였기 때문이다. Al_2O_3 -10 TiC의 경우 Y_2O_3 를 첨가하여도 경도 값의 변화가 없는데 이것은 밀도 변화가 거의 없기 때문인 것으로 판단된다.

Fig. 7은 TiC의 양 및 Y_2O_3 첨가량에 따른 파괴 인성 값의 변화를 나타낸다. K_c 값은 indentation 방법으로 측정할 경우 시편의 기공도가 높을수록 높게 측정되는 경향이 있으므로 Y_2O_3 를 첨가하지 않은 Al_2O_3 -30 TiC 시편과 Y_2O_3 가 첨가된 Al_2O_3 -30 TiC 시편의 소결 밀도가 비슷하므로 이들 사이의 절대적인 비교도 가능하다고 판단된다. 이상의 관점에서 볼 때 기공이 남아있는 (5 vol. % 내외) 시편에서도 고온 가압소결된 시편⁷⁾에서와 마찬가지로 K_c 값이 TiC 양의 증가에 따라 증가하고 Y_2O_3 양에 대해서는 무관하다는 것을 알 수 있다.

제 2상이 있을 때의 인성 증진 기구는 Al_2O_3 -ZrO₂에 서의 상변태나, 미세균열 기구등 여러가지가 제안되어 있

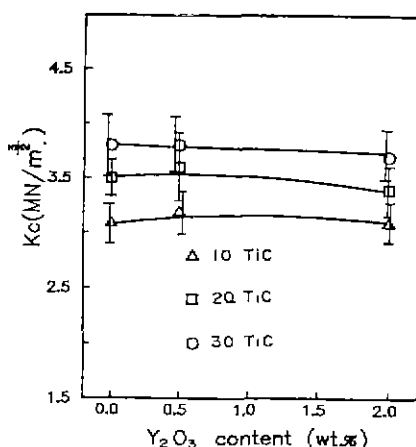


Fig. 7. Variation of fracture toughness with Y_2O_3 content of the specimens sintered at 1,750°C for 1 h.

다^{9~11)}. 이중 Faber 와 Evans¹²⁾는 균열이 제 2상 입자 주위로 계면을 따라 휘어져 전파되는 현상을 관찰하고 제 2상 주위의 전류응력의 크기와 부호(인장, 압축)는 중요한 영향을 미치지 않는다고 주장하였다. 이들은 제 2상과 균열 선단의 상호작용으로 non-planar 균열을 만들어 deflection toughening이 일어난다고 하였으며 실현적으로 planar crack 보다 non-planar crack이 응력집중을 감소시킨다고 하였다. 이러한 crack deflection은 입자 크기와 무관하며 입자의 형태(구, 봉, 판상)와 입자의 양에 영향을 많이 받는다고 하였다. 균열이 입자에 접근하게 되면 균열의 original plane 으로부터 방향이 꺾인 후 다시 원래의 진행 방향으로 전파하는데 이러한 꺾임에 의하여 균열 전파의 구동력이 감소되어 인성이 증가하게 되며 꺾임 각도는 입자의 방향과 위치에 영향을 받는다고 하였다.

Fig. 8은 Al_2O_3 -30 TiC 소결 시편을 미소경도 측정하였을 때 대표적으로 볼 수 있는 균열의 전파 모양이다. 균열의 전체적인 전파는 직선적이지만 TiC 입자가 있는 곳에서 균열이 대부분 TiC/ Al_2O_3 입자 주위로 돌아서 진행한 것을 볼 수 있다. TiC의 양이 많을수록 이러한 균열의 꺾임이 많이 관찰되는 것으로 보아 Al_2O_3 -SiC whisker 복합체에서와 마찬가지로 Al_2O_3 -TiC 소결체의 인성은 Faber 와 Evans¹²⁾가 제안한 균열 꺾임으로 증가될 수 있는 것으로 판단된다.

Fig. 9 와 Fig. 10은 Y_2O_3 를 0.5 wt.% 첨가하여 1,750°C에서 1시간 소결하여 이론 밀도의 95% 이상이 된 시편과 그 후 1,600°C에서 1,500°C 기압으로 0.5 시간

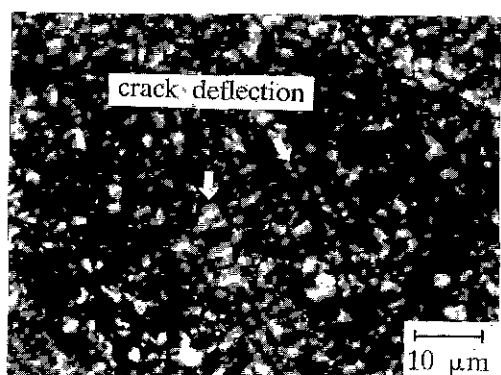


Fig. 8. Micrograph showing crack deflection in Al_2O_3 -30 TiC-0.5 Y_2O_3 specimen sintered at 1,750°C for 1 h.

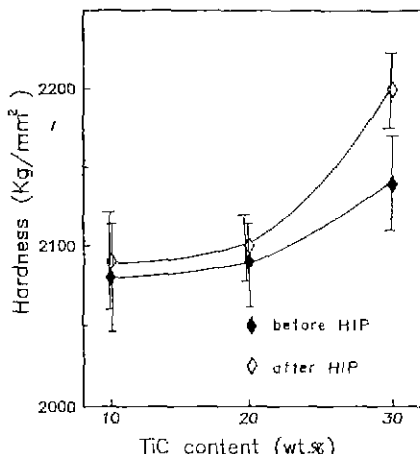


Fig. 9. Variation of microhardness of Al₂O₃-x TiC-0.5 Y₂O₃ specimens sintered at 1,750°C for 1 h and HIPed at 1,600°C for 0.5 h.

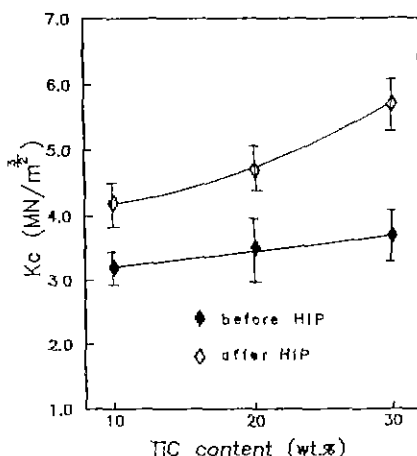


Fig. 10. Variation of fracture toughness of Al₂O₃-x TiC-0.5 Y₂O₃ specimens sintered at 1,750°C for 1 h and HIPed at 1,600°C for 0.5 h

HIP 한 시편의 경도값과 파괴 인성값을 보여준다. 경도는 HIP을 함으로서 약간 증가된 반면 Kc 값은 크게 증가됨을 알 수 있다. 이 결과는 소결 밀도가 경도 값보다는 인성값에 큰 영향을 줌을 보여준다. 특히 실제로 많이 연구되고 실용화 되고 있는 Al₂O₃-30 TiC 시편의 경우 6 MN/m^{3/2}인 Kc 값을 보여 50% 이상 인성이 증가되었다. 이 결과는 최근 시도되고 있는 Al₂O₃-TiC 재료에 대한 Sinter/HIP 공정의 타당성을 제시하는 것으로, Y₂O₃를

마량 첨가하고 소결한 후 HIP 공정을 거쳐 완전 치밀화된 소결체를 얻음으로서 기계적 성질이 우수한 Al₂O₃-TiC 복합체를 제조할 수 있다는 것을 보여주고 있다.

4. 결 론

Al₂O₃-TiC 계에서 TiC 양과 Y₂O₃ 첨가에 따른 치밀화와 미세조직, 기계적 성질에 관하여 연구하였다. TiC 양이 증가됨에 따라 Al₂O₃ 입자의 성장이 억제되었으며 소결밀도가 감소되었다. 본 연구의 소결 온도인 1,750°C에서는 Y₂O₃가 첨가되지 않은 Al₂O₃-30 TiC 시편의 경우 고령 기공 단계까지 치밀화 되지 않았다. 소결 침가체로서 Y₂O₃는 소결성을 크게 향상시켜 난소결성의 Al₂O₃-30 TiC를 상암소결로서 상대밀도 95% 이상까지 치밀화 시켰으며 이에 따라 소결체의 단순 HIP 공정을 가능하게 하였다. 또한 Y₂O₃의 첨가에 따라 Al₂O₃의 입자 성장이 억제되었다. 그러나 0.5 wt % 이상 첨가하였을 경우에는 치밀화에 큰 변화가 없었으며 이는 소결 후기의 소결성이 Y₂O₃의 양보다 TiC에 의해 지배됨을 의미한다.

Al₂O₃-TiC 소결체의 경도는 TiC 양과 기공도에 따라 길정될 것이나 95% 상대밀도 이상인 경우 큰 차이가 없었다. 반면 Kc 값은 TiC 양의 증가에 따라 조금씩 증가하는 경향을 보았으며 이는 Faber 와 Evans 가 제안한 것처럼 TiC 양 증가에 따라 균열의 겹임이 증가하기 때문인 것으로 예상된다.

HIP에 의하여 제조된 완전 치밀한 시편의 경도는 상암소결 시편의 경도에 비하여 크게 증가하지 않았으며 이는 95% 이상의 상대 밀도를 갖는 Al₂O₃-TiC의 경도가 기공도에 민감하지 않다는 것을 나타낸다. 반면 Kc 값은 HIP에 의하여 크게 증가하였으며 특히 Al₂O₃-30 TiC 시편의 경우 약 50%의 인성이 증가되었다. 따라서 Y₂O₃ 첨가와 상암소결/HIP 공정에 의하여 완전 치밀하고 기계적 성질이 우수한 Al₂O₃-TiC 복합체를 제조할 수 있다

「후 기」

본 연구를 지원해 주신 대한중식광업(주)와 과학기술처에 감사를 드립니다.

REFERENCES

1. M.P.Borom and M.Y.Lee, "Rapid Rate Sintering",

- U.S.Patent 4,490,319 Dec. 25, (1984).
2. L.E.Szala and M.Y.Lee, "Ceramic Al_2O_3 Substoichiometric TiC Body", U.S.Patent 4,407, 968 (1983).
 - 3 M.P.Borom and M.Y.Lee, "Effect of Heating Rate on Densification of Al_2O_3 -TiC Composites", *Adv.Ceram.Mat.*, (1986) 335-340.
 4. R.P.Wahi and B.Ilschner, "Fracture Behavior of Composite Based on Al_2O_3 -TiC", *J.Mat.Sci*, 15(1980) 875-885.
 5. G.Hubner and H.Hausner, "Quantitative Analysis of Microstructures in the System Al_2O_3 - Y_2O_3 ", Science of Ceramics, Vol 12 edited by P.Vincenzini (1983) 307-312.
 6. J.Klug and W.D.Pasco, "Microstructure Development of Aluminium Oxide . Graphite Mixture during Carbothermic Reduction", *J. Am. Ceram. Soc.*, 65(12) (1982) 619-624.
 7. C.S.Smith, "Grains, Phases and Interfaces : An Interpretation of Microstructure", *Trans. AIME*, 175 (1984) 345.
 8. K.Knoch, G.E.Gazza and R.N.Katz, "Energy and Ceramics", edited by P.Vincenzini, Elsevier (1980) 737-751.
 9. A.H.Heuer, "Precipitation in Partially Stabilized Zirconia", *J. Am. Ceram. Soc.*, 58(1975) 235.
 10. N.Claussen and J.Steeb, "Toughening of Ceramics Composites by Oriented Nucleation of Microcracks", *J. Am. Ceram. Soc.*, 59(1976) 457 .
 11. R.M.McMeeking and A.G.Evans, "Mechanics of Transformation Toughening in Brittle Materials", *J. Am. Ceram. Soc.*, 65(1982) 242.
 12. K.T.Faber and A.G.Evans, "Crack Deflection Processes", *Acta Metall.*, 31(4) (1983) 565-576.